

Introdução

Este relatório faz referência à resolução do segundo exercício-programa de Métodos Numéricos e Aplicações (MAP3122) para os alunos de Engenharia de Computação da Escola Politécnica da USP.

O problema aqui resolvido procura a causa (*pressão acústica* da onda) a partir da consequência de um fenômeno físico observado (*fonte* da onda).

Foi possível, após a realização dos exercícios propostos, aproximar uma solução para a *equação da onda*, que é uma equação diferencial parcial cuja solução é justamente a *pressão acústica* da onda, $u(t, x)$.

É importante salientar o programa aqui descrito é capaz de modelar problemas extremamente relevantes para a área da geofísica, incluindo desde o mapeamento de subsolos para prospecção petróleo até a detecção da origem de terremotos.

Exercício 1

Neste exercício o objetivo era resolver o problema direto representado pela seguinte equação diferencial parcial:

$$\begin{aligned}\partial_{tt}^2 u(t, x) - c^2 \partial_{xx}^2 u(t, x) &= f(t, x) \text{ em } [0, T] \times [0, 1] \\ u(0, x) &= u_0(x) \text{ em } [0, 1] \\ \partial_t u(0, x) &= u_1(x) \text{ em } [0, 1] \\ u(t, 0) &= 0 \text{ em } [0, T] \\ u(t, 1) &= 0 \text{ em } [0, T]\end{aligned}$$

Considerando que para os problemas apresentados neste exercício-programa as condições iniciais são nulas e o valor de T é 1, temos:

$$\begin{aligned}\partial_{tt}^2 u(t, x) - c^2 \partial_{xx}^2 u(t, x) &= f(t, x) \text{ em } [0, 1] \times [0, 1] \\ u(0, x) &= 0 \text{ em } [0, 1] \\ \partial_t u(0, x) &= 0 \text{ em } [0, 1] \\ u(t, 0) &= 0 \text{ em } [0, 1] \\ u(t, 1) &= 0 \text{ em } [0, 1]\end{aligned}$$

A *função de fonte* $f(t, x)$ é definida como:

$$f(t, x) = \begin{cases} 1000c^2(1 - 2\beta^2 t^2 \pi^2) e^{-\beta^2 t^2 \pi^2}, & x = x_c \\ 0, & x \neq x_c \end{cases}$$

Buscando aproximar numericamente a solução da equação diferencial observada, foram feitas as seguintes simplificações para as derivadas primeiras:

$$\partial_t u(t, x) \approx \frac{u(t + \Delta t/2, x) - u(t - \Delta t/2, x)}{\Delta t} \quad \text{e} \quad \partial_x u(t, x) \approx \frac{u(t, x + \Delta x/2) - u(t, x - \Delta x/2)}{\Delta x}$$

Analogamente, as derivadas segundas podem ser calculadas assim:

$$\partial_{tt}^2 u(t, x) \approx \frac{\partial_t u(t + \Delta t/2, x) - \partial_t u(t - \Delta t/2, x)}{\Delta t} \quad \text{e} \quad \partial_{xx}^2 u(t, x) \approx \frac{\partial_x u(t, x + \Delta x/2) - \partial_x u(t, x - \Delta x/2)}{\Delta x}$$

Agora ao se combinar as 4 expressões anteriores, as seguintes expressões são deduzidas:

$$\partial_{tt}^2 u(t, x) \approx \frac{\partial_t u(t + \Delta t/2, x) - \partial_t u(t - \Delta t/2, x)}{\Delta t}$$

$$\partial_{xx}^2 u(t, x) \approx \frac{\partial_x u(t, x + \Delta x/2) - \partial_x u(t, x - \Delta x/2)}{\Delta x}$$

Para que se possa calcular de forma algorítmica a solução do problema inverso, deve-se discretizar as variáveis t e x , de forma a se convergir para os valores exatos da função $u(t, x)$ quanto menores forem os intervalos de discretização.

Desta forma, temos, na região $[0, T] \times [0, 1]$:

$$\begin{cases} t_i = i\Delta t, & \text{com } i = 0, \dots, n_t \text{ e } \Delta t = T/n_t \\ x_j = j\Delta x, & \text{com } j = 0, \dots, n_x \text{ e } \Delta x = 1/n_x \end{cases}$$

Agora, para que se calcule $u(t_i, x_j)$, deve-se partir das condições iniciais, a passos constantes, conforme propõe o Método de Euler.

Ao se aplicar sucessivas vezes o método, obter-se-á uma boa aproximação $u_i^j \approx u(t_i, x_j)$ da função $u(t, x)$ calculada em t_i, x_j .

Denotaremos doravante $f(t_i, x_j)$ por f_i^j .

As expressões anteriores, compiladas e substituídas por essa nova notação ficam da seguinte forma:

$$\frac{u_{i+1}^j - 2u_i^j + u_{i-1}^j}{\Delta t^2} - c^2 \frac{u_i^{j+1} - 2u_i^j + u_i^{j-1}}{\Delta x^2}, \quad \text{para } i \geq 1$$

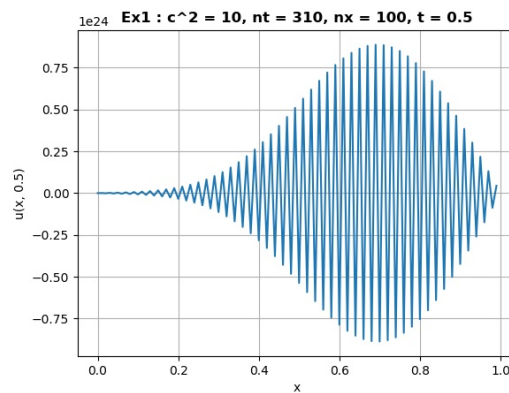
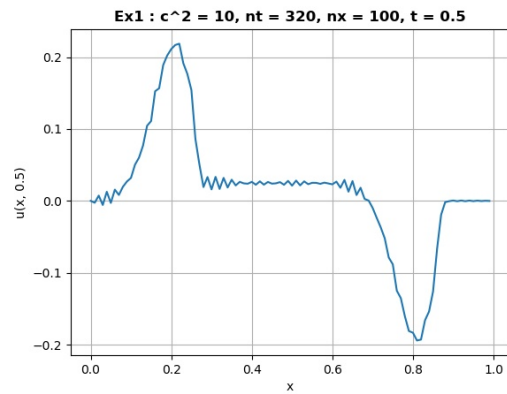
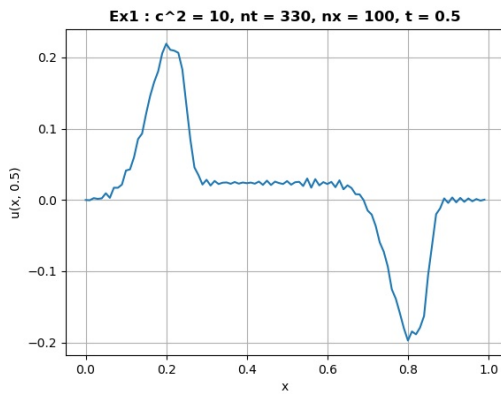
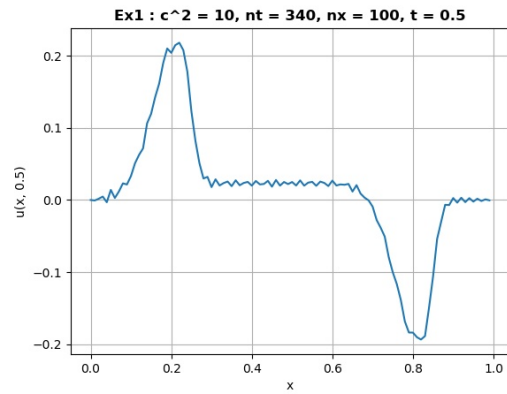
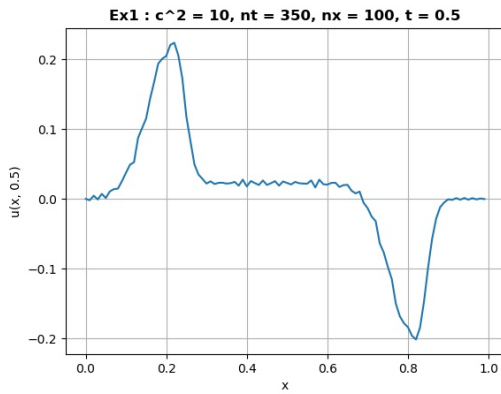
Isolando o termo de interesse u_{i+1}^j , teremos:

$$u_{i+1}^j = -u_{i-1}^j + 2(1 - \alpha^2)u_i^j + \alpha^2(u_i^{j+1} + u_i^{j-1} + \Delta t^2 f_i^j), \quad \text{para } i \geq 1$$

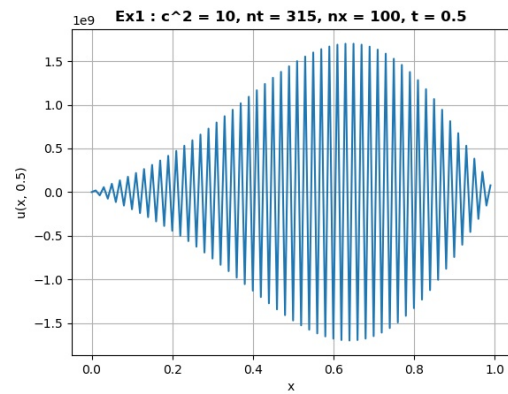
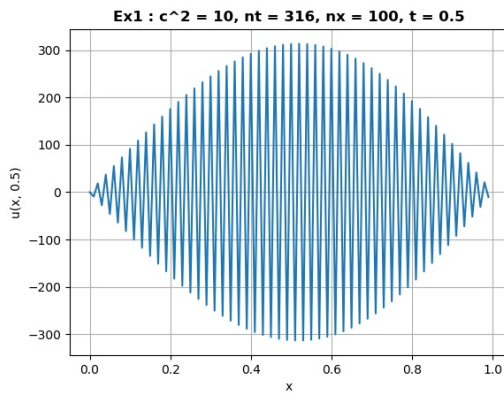
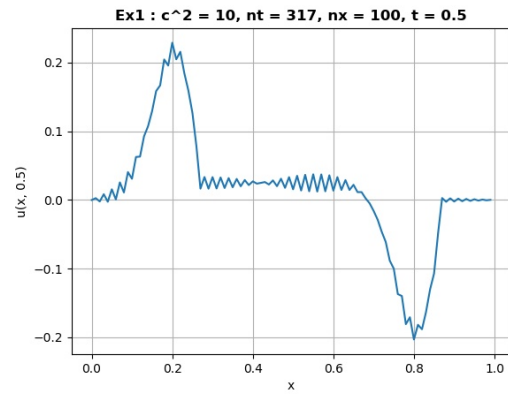
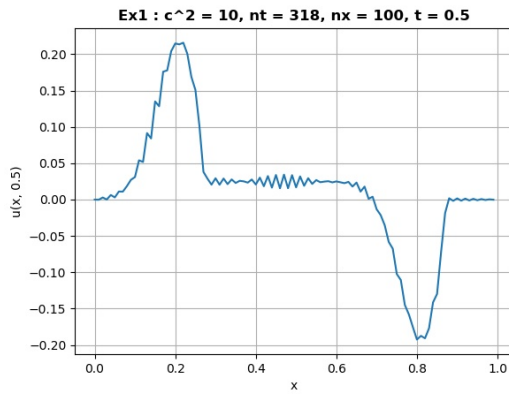
Com $\alpha = c\Delta t/\Delta x$.

Agora é possível perceber que um certo valor de $u(t_i, x_j)$ depende sempre de 4 valores anteriores a ele próprio, que são $u_i^j, u_{i-1}^j, u_i^{j+1}$ e u_i^{j-1} . Para encontrar as respostas da equação diferencial parcial (EDP) foi necessário criar uma matriz que a representa, ela tem tamanho $n_t + 1$ e $n_x + 1$ para assim poder conter todo o intervalo para a qual está definida a equação, ou seja, o intervalo $[0, 1] \times [0, 1]$. Cada linha representa um tempo e cada coluna uma posição, como mostrado anteriormente na relação entre i e t_i e j e x_j , esses i e j representam o número da linha e da coluna da matriz, respectivamente. Para respeitar as condições iniciais estabelecidas as primeiras duas linhas foram preenchidas por zeros e para respeitar as condições de contorno a primeira e última colunas também são formadas por zeros, com isso, começando a partir da segunda linha pode-se calcular os demais $u(t_i, x_j)$, as respostas da EDP, seguindo a iteração apresentada acima.

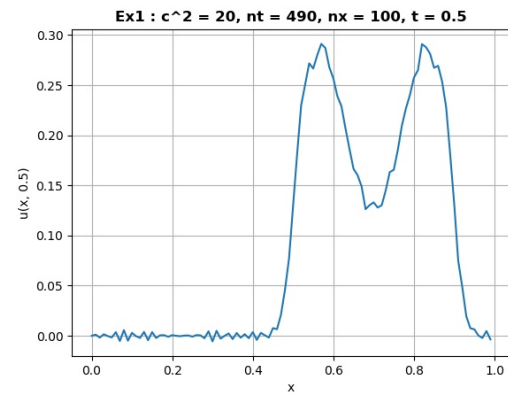
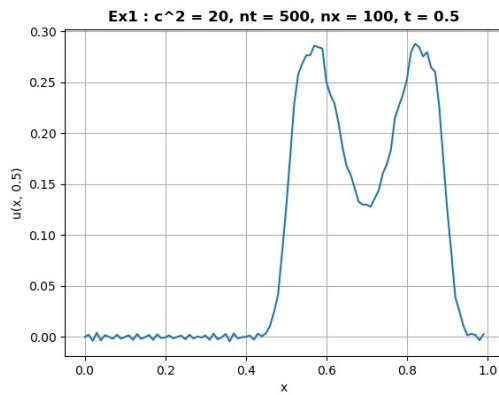
Após elaborar todo o código para resolver a equação diferencial parcial, foram realizados os testes apresentados no enunciado deste exercício-programa, o primeiro deles foi estabelecer $c^2 = 10$ e $n_x = 100$, começar com $n_t = 350$ e ir decrescendo o valor dele de dez em dez unidades, para observar em qual valor ocorreria a perda da estabilidade do método, a qual é representada por uma ampla oscilação nos valores de $u(x, t)$, pelos gráficos abaixo podemos concluir que o problema ocorre na passagem entre $n_t = 310$ e $n_t = 320$.

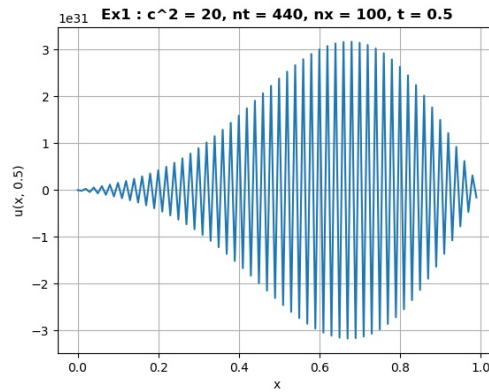
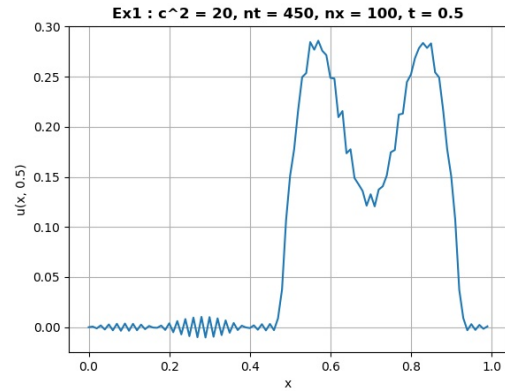
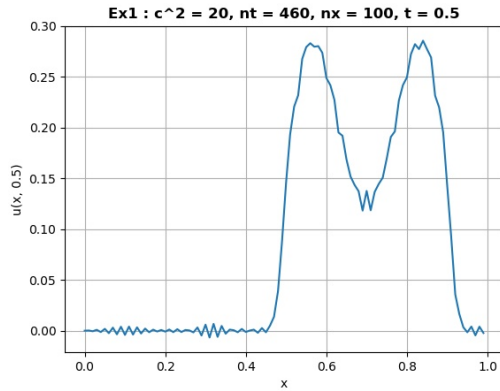
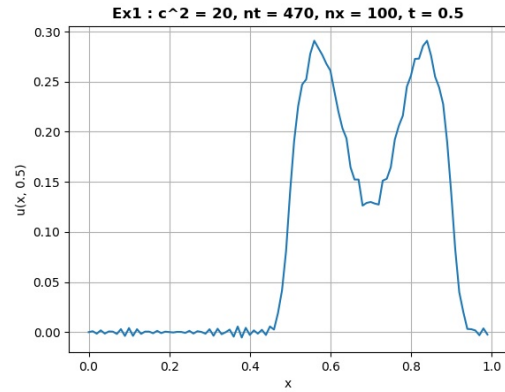
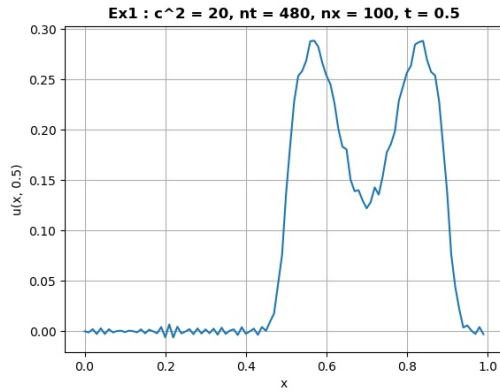


Para obter com maior precisão o caso em que começam a ocorrer problemas de estabilidade, testamos mais alguns casos, chegando à conclusão de que o método deixa de convergir para a resposta correta para n_t menor ou igual a 316.



O segundo teste pedido foi definir $c^2 = 20$ e $n_x = 100$, iniciar com $n_t = 500$ e decrementá-lo de dez em dez, buscando novamente a situação na qual o método deixa de convergir para a resposta correta. Essa situação acontece com n_t entre 450 e 440.

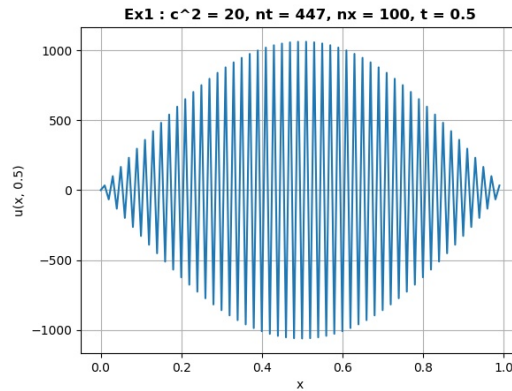
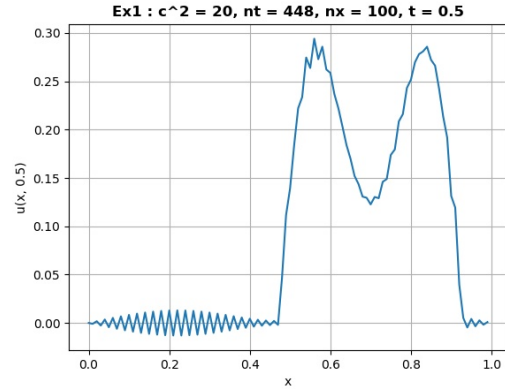
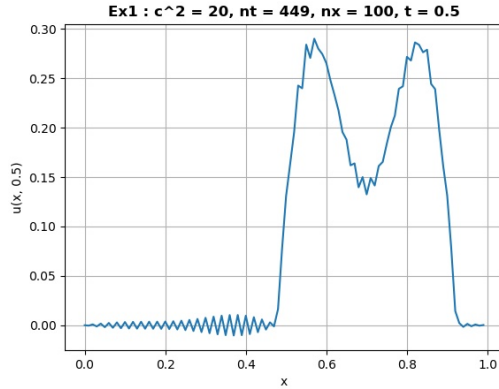




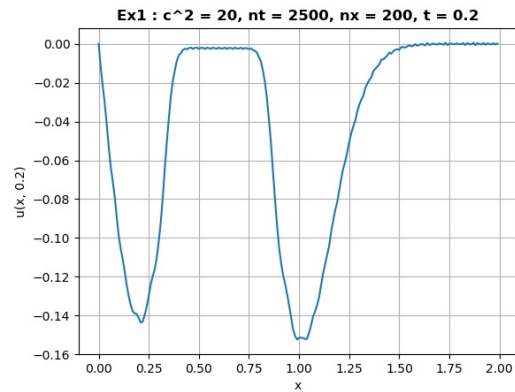
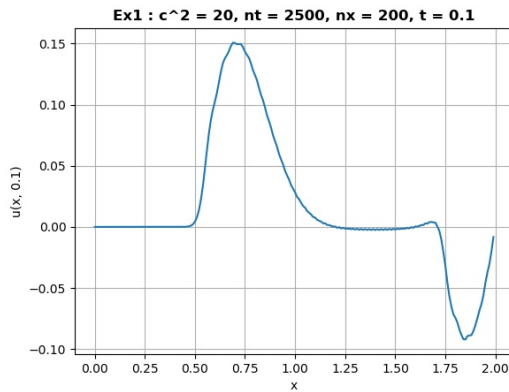
Para obter o momento preciso da perda de estabilidade do método utilizado foram realizados os testes abaixo, chegando a conclusão de que não temos mais convergência para a resposta correta para n_t menor ou igual a 447.

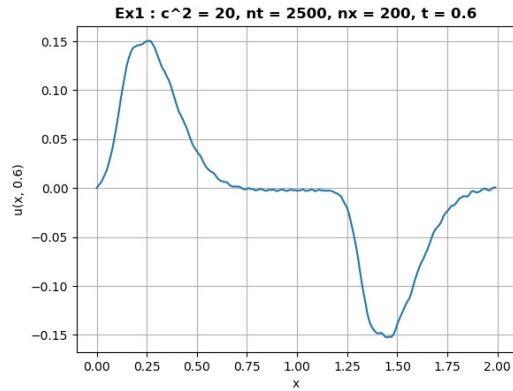
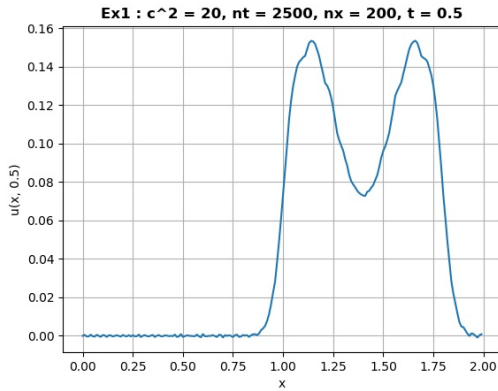
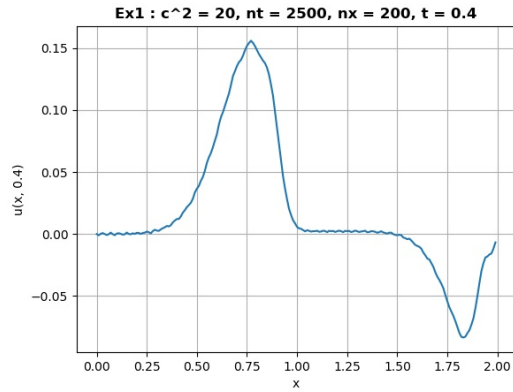
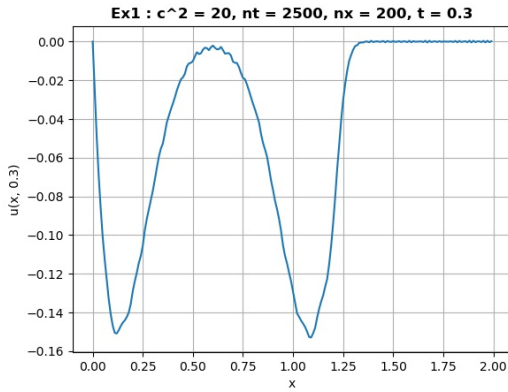
É interessante observar como para um mesmo n_x um valor maior de c acarreta em um n_t de corte maior também. Isso pode ser explicado pela condição CFL (Courant–Friedrichs–Lewy) para estabilidade de soluções de equações diferenciais parciais.

A condição $c \frac{\Delta t}{\Delta x} \leq C_{max}$ (CFL) estabelece claramente que, para mesmos valores de n_t e C_{max} (depende do tipo de método utilizado e da implementação do algoritmo), a dependência entre o valor correspondente de n_t e o de c é linear e diretamente proporcional. Uma outra forma de ver : $n_t \geq \frac{cn_x}{C_{max}}$.



Como sugerido, a seguir tem-se gráficos para $n_t = 2500$, $n_x = 200$ e $c^2 = 20$ com t no intervalo fechado $[0.1, 0.6]$.





Exercício 2

Nesta seção, a equação do exercício 1 foi modificada, para contemplar outro problema. Agora o lado direito dela se tornou uma soma de funções f , ou seja, uma combinação linear de K fontes diferentes, ponderadas por constantes a_k^* (*intensidades*), cujos valores são desconhecidos a priori.

$$\partial_{tt}^2 u^*(t, x) - c^2 \partial_{xx}^2 u^*(t, x) = \sum_{k=1}^K a_k^* f_k(t, x) \text{ em } [0, 1] \times [0, 1]$$

$$u^*(0, x) = 0 \text{ em } [0, 1]$$

$$\partial_t u^*(0, x) = 0 \text{ em } [0, 1]$$

$$u^*(t, 0) = 0 \text{ em } [0, 1]$$

$$u^*(t, 1) = 0 \text{ em } [0, 1]$$

O problema inverso consiste, justamente, em definir o valor das intensidades a_k^* a partir de medições de $u^*(x_r, t)$ em um único ponto $x_r \in [0, 1]$.

As medições são feitas por um receptor, que será denotado como a função $d_r(t)$ a partir de agora.

O problema agora é definir uma aproximação para os valores de a_k^* , que serão chamadas de intensidades a_k , a partir dos valores medidos de $u^*(x_r, t) = d_r(t)$.

Neste caso, sabemos os valores das fontes f_k e podemos dividir a nossa equação diferencial em K partes independentes, graças ao fato de que ela é linear. Para um a_j específico, temos:

$$\begin{aligned}\partial_{tt}^2 u_k(t, x) - c^2 \partial_{xx}^2 u_k(t, x) &= a_j f_j(t, x) \quad [0, 1] \times [0, 1] \\ u_k(0, x) &= 0 \text{ em } [0, 1] \\ \partial_t u_k(0, x) &= 0 \text{ em } [0, 1] \\ u_k(t, 0) &= 0 \text{ em } [0, 1] \\ u_k(t, 1) &= 0 \text{ em } [0, 1]\end{aligned}$$

A título de revisão, a seguir vem a fórmula que define como é feito o cálculo de f_k .

$$f_k(t, x) = \begin{cases} f_k(t, x) = 1000c^2(1 - 2\beta^2 t^2 \pi^2)e^{-\beta^2 t^2 \pi^2}, & x = x_k \\ 0, & x \neq x_k \end{cases}$$

Para que o problema inverso seja de fato resolvido, é definida uma função custo, que depende dos parâmetros a_j (desconhecidos) resultando em um problema dos Mínimos Quadrados.

Ao analisarmos a equação diferencial deste exercício, é fácil concluir que $u(t, x) = \sum_{k=1}^K a_k u_k(t, x)$ e podemos, conseqüentemente, definir uma função de custo com a seguinte expressão:

$$E(a_1, \dots, a_K) = \frac{1}{2(t_f - t_i)} \int_{t_i}^{t_f} \left(\sum_{k=1}^K a_k u_k(t, x_r) - d_r(t) \right)^2 dt$$

Busca-se minimizar a função custo, logo devem ser calculadas suas derivadas parciais em relação a cada uma das intensidades a_j , com $j = 1, 2, \dots, K$.

$$\begin{aligned}\frac{\partial E(a_1, \dots, a_K)}{\partial a_j} &= \frac{1}{2(t_f - t_i)} \int_{t_i}^{t_f} 2u_j(t, x_r) \left(\sum_{k=1}^K a_k u_k(t, x_r) - d_r(t) \right) dt \\ \frac{\partial E(a_1, \dots, a_K)}{\partial a_j} &= \frac{1}{t_f - t_i} \int_{t_i}^{t_f} u_j(t, x_r) \left(\sum_{k=1}^K a_k u_k(t, x_r) \right) - u_j(t, x_r) d_r(t) dt\end{aligned}$$

Igualando a expressão da derivada a zero (Método dos Mínimos Quadrados), tem-se:

$$\begin{aligned}\frac{1}{t_f - t_i} \int_{t_i}^{t_f} u_j(t, x_r) \left(\sum_{k=1}^K a_k u_k(t, x_r) \right) - u_j(t, x_r) d_r(t) dt &= 0 \\ \int_{t_i}^{t_f} u_j(t, x_r) \left(\sum_{k=1}^K a_k u_k(t, x_r) \right) dt - \int_{t_i}^{t_f} u_j(t, x_r) d_r(t) dt &= 0 \\ \sum_{k=1}^K a_k \left(\int_{t_i}^{t_f} u_j(t, x_r) u_k(t, x_r) dt \right) &= \int_{t_i}^{t_f} u_j(t, x_r) d_r(t) dt\end{aligned}$$

O resultado acima é realizado para cada a_j do problema, de modo que pode-se construir o sistema linear a seguir com as expressões obtidas:

$$\begin{bmatrix} \int_{t_i}^{t_f} u_1(t, x_r) u_1(t, x_r) dt & \int_{t_i}^{t_f} u_1(t, x_r) u_2(t, x_r) dt & \dots & \int_{t_i}^{t_f} u_1(t, x_r) u_K(t, x_r) dt \\ \int_{t_i}^{t_f} u_2(t, x_r) u_1(t, x_r) dt & \int_{t_i}^{t_f} u_2(t, x_r) u_2(t, x_r) dt & \dots & \int_{t_i}^{t_f} u_2(t, x_r) u_K(t, x_r) dt \\ \vdots & \vdots & \ddots & \vdots \\ \int_{t_i}^{t_f} u_K(t, x_r) u_1(t, x_r) dt & \int_{t_i}^{t_f} u_K(t, x_r) u_2(t, x_r) dt & \dots & \int_{t_i}^{t_f} u_K(t, x_r) u_K(t, x_r) dt \end{bmatrix} \begin{bmatrix} a_1 \\ a_2 \\ \vdots \\ a_K \end{bmatrix} = \begin{bmatrix} \int_{t_i}^{t_f} u_1(t, x_r) d_r(t) dt \\ \int_{t_i}^{t_f} u_2(t, x_r) d_r(t) dt \\ \vdots \\ \int_{t_i}^{t_f} u_K(t, x_r) d_r(t) dt \end{bmatrix}$$

Método Cholesky

Considerando um sistema linear representado por matrizes $Ba = c$, sendo a a matriz das incógnitas, temos:

$$B = LL^T$$

Sendo l_{ij} os termos da matriz L e b_{ij} da matriz B e $i = 1, 2, \dots, n$, podemos calcular l_{ij} da seguinte maneira:

$$l_{ii} = \sqrt{b_{ii} - \sum_{k=1}^{i-1} (l_{ik})^2} \text{ com } l_{11} = \sqrt{b_{11}}$$

$$l_{ij} = \frac{1}{l_{jj}} (b_{ij} - \sum_{k=1}^{j-1} l_{ik} l_{jk}) \text{ para } i \neq j$$

Para elementos a esquerda da diagonal principal temos que $l_{ij} = 0$.

Com isso obtemos a matriz L , então, pode-se rescrever o sistema assim:

$$LL^T a = c$$

Podemos definir a matriz y como $y = L^T a$ e o sistema fica:

$$Ly = c$$

Como L é uma matriz triangular inferior obtém-se facilmente a matriz y por substituição, então a substituímos em:

$$L^T a = y$$

Finalmente resolve-se esse sistema por substituição retroativa, obtendo-se o vetor de incógnitas a .

Método SOR

Dado o sistema $Ba = c$ obtemos a solução dele realizando a iteração apresentada a seguir 10000 vezes para cada $a_i, i = 1, 2, \dots, n$:

$$a_i^k = (1 - \omega) a_i^{k-1} + \frac{\omega}{b_{ii}} \left(c_i - \sum_{j=i+1}^{i-1} b_{ij} a_j^k - \sum_{j=1}^n b_{ij} a_j^{k-1} \right)$$

Para este exercício-programa $\omega = 1.6$ e $a_i^0 = 0$, nas primeiras iterações usou-se um ω menor para evitar que o vetor inicial não convirja para a resposta correta.

Integração

Considerando a utilização de um computador para a resolução deste problema, foi utilizada a Fórmula dos Trapézios para aproximar as integrais:

$$\int_{s_0}^{s_n} g(s) ds \approx \frac{\Delta t}{2} \left[g(s_0) + g(s_n) + 2 \sum_{i=1}^{n-1} g(s_i) \right]$$

com $s_i = s_0 + i\Delta t$ sendo $i = 0, 1, \dots, n$ e $n = (s_n - s_0)/\Delta t$, para uma função $g : \mathbb{R} \rightarrow \mathbb{R}$.

Solução técnica do exercício 2

Discorrer-se-á agora sobre como o sistema linear foi resolvido tecnicamente (usando a linguagem Python):

Para se montar o sistema linear descrito, foi necessário definir uma função chamada *linearSystem()*, a qual deve montar uma matriz numpy com os valores das integrais que compõem a matriz B .

Foi, portanto, criada a função (*integral()*) toma como parâmetros duas funções u_1 e u_2 e calcula a integral do produto entre elas no intervalo $[s_0, s_N]$ usando a Fórmula dos Trapézios, já descrita anteriormente. O cálculo é discretizado em intervalos iguais de tempo Δt .

Devido à necessidade de funções como entrada da função *integral*, em vários momentos o código necessitou ser descrito por funções lambda, o que foi feito possível graças à sintaxe do Python. O uso das lambdas pode ser visto na seção Apêndice deste relatório.

Para juntar todas essas funções, foi criado um método *createFuncs()*, o qual compila em um *numpy.ndarray* cada uma das funções lambda $u(t)$ soluções da equação diferencial deste exercício, a partir do método *EDO()* descrito no exercício 1, mas agora com valores variáveis de x_c .

Os valores de x_c estão, neste caso, em um vetor *xc*, determinado em cada uma das subseções deste exercício.

Com o sistema linear descrito, pôde-se calcular os valores das intensidades a_k^* usando os métodos SOR e Cholesky descritos anteriormente. Isso foi possível pois, como pode ser facilmente observado na dedução deste sistema linear, a matriz B é simétrica. Nenhuma verificação é feita, em contrapartida, para garantir se essa matriz é positiva, então é possível que sob circunstâncias diferentes das fornecidas neste EP os métodos SOR e Cholesky podem não convergir e/ou apresentar erro de execução caso a matriz B não seja positiva.

Cálculos residuais e de erro

A partir dos valores das intensidades calculadas a_k , foi possível fazer uma análise comparativa entre o que se esperava e o que foi obtido (nos casos $K = 3$ e $K = 10$) e outra de resíduo (para qualquer um dos casos). A seguir a fórmula usada para o cálculo residual (função custo).

$$E(\tilde{a}_1, \dots, \tilde{a}_K) = \frac{1}{2(t_f - t_i)} \int_{t_i}^{t_f} \left(\sum_{k=1}^K \tilde{a}_k u_k(t, x_r) - d_r(t) \right)^2 dt$$

Sabendo-se a priori que a_k é o valor encontrado da resolução do sistema linear, o erro pode ser calculado da seguinte forma (levar em conta que a k é o valor calculado e a_k^* é o valor esperado):

$$erro = \sqrt{\sum_{k=1}^K (a_k - a_k^*)^2}$$

Resultados obtidos

Conforme mencionado brevemente até agora, foram propostos 3 subproblemas neste exercício, os quais procuram resolver o problema inverso a partir dos valores de K fontes e K medições.

$K=3$

A resposta esperada era $[0.1, 40.0, 7.5]$. Com o método Cholesky, obteve-se esse mesmo vetor considerando um arredondamento de uma casa decimal e o valor do erro foi $3.48 * 10^{-12}$ com um resíduo de $1.62 * 10^{-23}$. Utilizando-se o método SOR também foi obtido o vetor esperado, sendo o erro e o resíduo iguais a $3.48 * 10^{-12}$ e $1.62 * 10^{-23}$, respectivamente.

$K=10$

A resposta esperada era $[7.3, 2.4, 5.7, 4.7, 0.1, 20.0, 5.1, 6.1, 2.8, 15.3]$. Novamente com o método Cholesky, obteve-se esse mesmo vetor considerando um arredondamento de uma casa decimal e o valor do erro foi $4.82 * 10^{-11}$ com um resíduo de $1.64 * 10^{-24}$. Utilizando-se o método SOR também foi obtido o vetor esperado, sendo o erro e o resíduo iguais a $4.88 * 10^{-11}$ e $1.64 * 10^{-24}$, respectivamente.

$K=20$

Neste caso não temos a resposta esperada e, portanto, pode-se apenas calcular o resíduo. A resposta obtida com as respostas apresentadas em ordem crescente é $[-17.2, -11.7, -11.5, -6.2, -5.0, -3.9, -2.4, 0.5, 6.5, 9.6, 11.1, 11.5, 12.3, 13.0, 14.7, 20.3, 21.1, 22.6, 37.4, 65.2]$ com arredondamento de uma casa decimal e o resíduo vale $6.13 * 10^{-4}$.

Vale notar que tanto o erro quanto o resíduo foram praticamente iguais nos dois métodos, com o Cholesky obtendo esses parâmetros um pouco menores se forem observadas mais casas decimais na comparação.

Exercício 3

Nesta seção, a função $d_{r_{10}}$ foi modificada para representar de forma um pouco mais fidedigna a verdadeira natureza do problema que foi resolvido.

As medições feitas pelos *receptores* d_r não são sempre precisas e pequenas mudanças nos valores fornecidos por esses detectores acarretam em soluções bastante diferentes para o sistema linear das intensidades a_k . Justamente por esse motivo é que este problema inverso é considerado *mal-posto*.

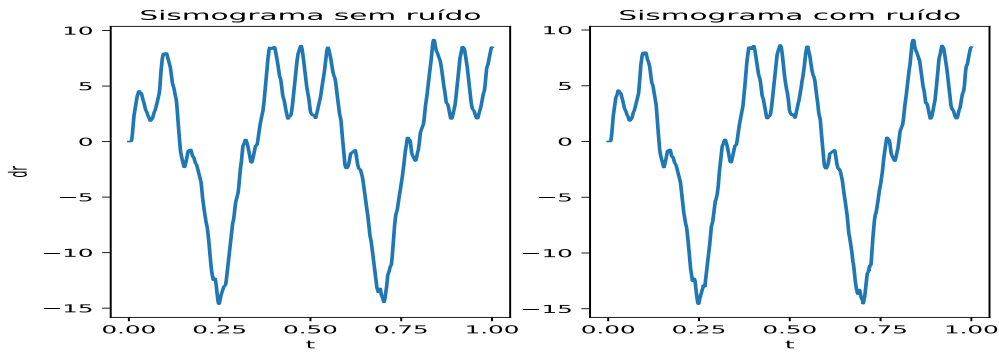
Para simular as imprecisões nas medidas, foi necessária a criação de uma função $d_r^{ruído}(t)$, a qual distorce cada um dos termos do vetor $d_{r_{10}}(t)$ aleatoriamente, segundo um nível de ruído desejado. Os valores escolhidos para η foram de 10^{-3} , 10^{-4} e 10^{-5} .

$$d_r^{ruído}(t) = (1 + \delta(t))d_r^{10}(t) \text{ para } t \in [t_i, t_f]$$

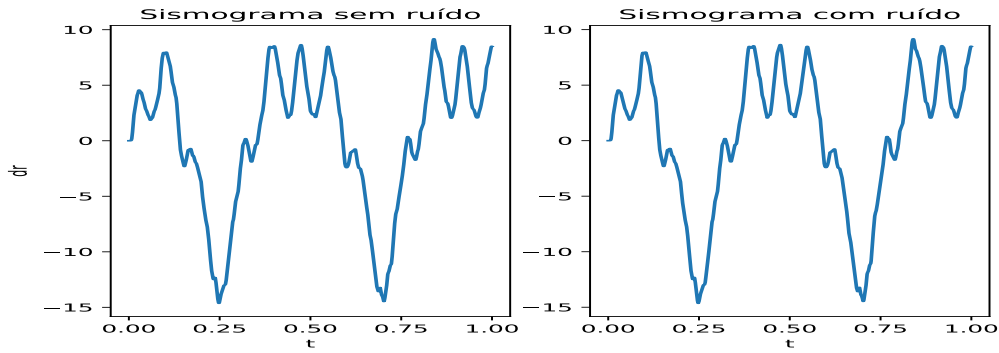
$$\delta(t) = \left(\eta \max_{s \in [t_i, t_f]} |d_r^{10}(s)| \right) v(t)$$

Neste programa foi utilizada a função *random* do *numpy* para realizar o papel de $v(t)$, ajustando-a para que forneça valores de -1.0 a 1.0.

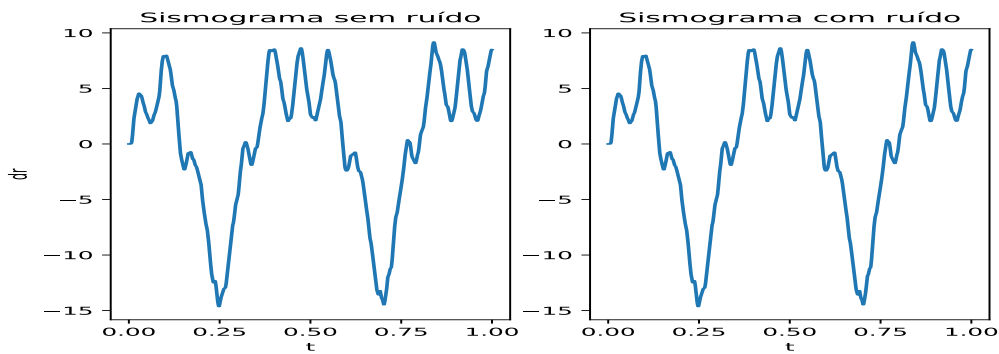
$$ruído = 100 \frac{\int_{t_i}^{t_f} |d_r^{10}(t) - d_r^{ruído}(t)| dt}{\int_{t_i}^{t_f} |d_r^{10}(t)| dt}$$



$$\eta = 10^{-3}$$



$$\eta = 10^{-4}$$



$$\eta = 10^{-5}$$

Resultados obtidos com $K = 10$ e ruído

Foram realizados os testes para os três valores de η (ruído) a seguir:

$$\eta = 10^{-3}$$

A resposta esperada era [7.3,2.4,5.7,4.7,0.1,20.0,5.1,6.1,2.8,15.3]. Com o método Cholesky, obteve-se [8.2, 1.3, 5.8, 5.5, 0.5, 19.6, 5.0, 6.2, 2.8, 15.3] considerando um arredondamento de uma casa decimal e o valor do erro foi 1.79 com um resíduo de $3.66 \cdot 10^{-4}$. Utilizando-se o método SOR também foi obtido o mesmo vetor de respostas que com Cholesky, sendo o erro e o resíduo iguais a 1.79 e $3.66 \cdot 10^{-4}$, respectivamente. O nível de ruído para este caso foi 4.80%.

$$\eta = 10^{-4}$$

A resposta esperada era [7.3,2.4,5.7,4.7,0.1,20.0,5.1,6.1,2.8,15.3]. Com o método Cholesky, obteve-se [7.2, 2.4, 5.6, 4.6, 0.1, 20.0, 5.1, 6.1, 2.8, 15.3] considerando um arredondamento de uma casa decimal e o valor do erro foi 0.16 com um resíduo de $4.66 \cdot 10^{-6}$. Utilizando-se o método SOR também foi obtido o vetor esperado, sendo o erro e o resíduo iguais a 0.16 e $4.66 \cdot 10^{-6}$, respectivamente. O nível de ruído para este caso foi 5.11%.

$$\eta = 10^{-5}$$

A resposta esperada era [7.3,2.4,5.7,4.7,0.1,20.0,5.1,6.1,2.8,15.3]. Com o método Cholesky, obteve-se esse mesmo vetor considerando um arredondamento de uma casa decimal e o valor do erro foi 0.02 com um resíduo de $3.92 \cdot 10^{-8}$. Utilizando-se o método SOR também foi obtido o vetor esperado, sendo o erro e o resíduo iguais a 0.02 e $3.92 \cdot 10^{-8}$, respectivamente. O nível de ruído para este caso foi 4.76%.

Conclusão

A partir dos dados analisados até aqui foi possível perceber a dificuldade de resolver o problema inverso uma vez que mesmo com um η de 10^{-3} obtiveram-se resultados diferentes dos esperados comparados ao caso ideal. É importante ressaltar que na realidade esse tipo de problema é mais complexo, pois passa-se a trabalhar num espaço de duas ou três dimensões, dificultando-se tanto da perspectiva matemática quanto computacional. Além disso, a função custo não é tão simples quanto a utilizada aqui.

Pode-se observar também neste exercício a importância do método Cholesky como resolutor de sistemas lineares com matriz B simétrica e positiva, bem como a do SOR, que converge iterativamente para a solução certa. Tudo isso possível, é claro, graças ao Método de Euler, o qual permite a aproximação de equações diferenciais sem a necessidade de achar sua solução analítica, o que é muito útil para a engenharia em geral.

Apêndice

Aqui ficam algumas partes-chave dos arquivos .py do EP inteiro.

```
9  # Função da fonte
10 # Recebe os índices i e j onde se deseja calcular f
11 def funcaoF(i, j, c2, xc, nx, nt):
12
13     t = i / nt
14
15     betha2 = 10 ** 2
16     pi2 = (np.pi) ** 2
17
18     if j != int(xc * nx):
19         return 0
20
21     aux1 = 1000 * c2
22     aux2 = 1 - 2 * betha2 * pi2 * (t ** 2)
23     aux3 = np.exp(- betha2 * pi2 * (t ** 2))
24
25     return aux1 * aux2 * aux3
```

Ex1: Função de fonte.

```
46 # Soluciona u(ti, xj) para os parâmetros dados
47 def EDO(i, j, matrix, nt, nx, c2, T, firstTime, xc):
48
49     deltaT = T / nt
50     deltaX = 1 / nx
51     alpha = math.sqrt(c2) * (deltaT / deltaX)
52
53     if firstTime:
54         matrix = m.criarMatriz(nt + 1, nx + 1)
55         matrix = fillEDOMatrix(nt, nx, alpha, T, matrix, c2, xc)
56
57     return matrix[i][j], matrix
```

Ex1: Função que popula *matrix* com os valores da solução da EDO.

```
59 # Plota o gráfico de u(x, t) para um t dado
60 # e depende dos parâmetros nt, nx e c^2 (únicos que podem variar)
61 def plotArt(t):
62     valoresx = np.array([])
63     valoresy = np.array([])
64     i = int(t*nt)
65
66     matrix = []
67
68     firstTime = True
69     for j in range (nx):
70         valoresx = np.append(valoresx, j*deltaX)
71
72         aux = EDO(i, j, matrix, nt, nx, c2, T, firstTime, xc=0.7)
73         valoresy = np.append(valoresy, aux[0])
74         matrix = aux[1]
75
76         firstTime = False
77
78     plt.plot(valoresx, valoresy)
79     nome = "Ex1 : c^2 = " + str(c2) + \
80           ", nt = " + str(nt) + \
81           ", nx = " + str(nx) + \
82           ", t = " + str(round(t,1))
83     plt.title(nome, fontweight="bold")
84     plt.grid(True)
85     plt.xlabel("x")
86     plt.ylabel("u(x, " + str(round(t,1)) + ")")
87
88     plt.savefig("ImagensEx1/" + nome + ".jpeg")
89     plt.clf()
```

Ex1: PlotArt é a função que plota os gráficos do exercício 1, dependendo dos valores atuais de c^2 , n_t , n_x e t .

```
15 # Calcula a integral do produto das funções u1 e u2
16 # Os limites da integral são s0 e sN, e o passo entre
17 # as áreas somadas é deltaT
18 # Aqui a aproximação é feita usando a Fórmula dos Trapézios Composta
19 def integral(u1, u2, s0, sN, deltaT):
20     n = int( (sN - s0) / deltaT )
21     sum = 0
22     for i in range(1, n):
23         si = s0 + i * deltaT
24         sum += (u1(si) * u2(si))
25
26     sum *= 2
27     sum += (u1(s0) * u2(s0)) + (u1(sN) * u2(sN))
28
29     return sum * deltaT / 2
30
31 # Cria um sistema linear a partir das integrais
32 # das funções Ui obtidas e o dr fornecido
33 def linearSystem(K, funcs, dr, deltaT, ti, tf):
34     B = m.criarMatriz(K, K)
35     c = m.criarMatriz(K, 1)
36
37     for i in range(K):
38         for j in range(i):
39             B[i][j] = integral(funcs[i], funcs[j], ti, tf, deltaT)
40             B[j][i] = B[i][j]
41         B[i][i] = integral(funcs[i], funcs[i], ti, tf, deltaT)
42
43     for i in range(K):
44         c[i][0] = integral(funcs[i], dr, ti, tf, deltaT)
45
46     return B, c
```

Ex2: A função `integral()` calcula a integral do produto de duas funções $u_1(s)$ e $u_2(s)$ no intervalo $[s_0, s_N]$. A função `linearSystem()` usa os valores das integrais entre os produtos de $u_k s$ para criar a matriz B do sistema linear.


```
116 # Cria uma lista de funcoes a partir de um dos parametros
117 # do vetor xc fornecido, com K posições
118 def createFuncs(xcs, K):
119     porFora = []
120     funcs = []
121     for i in range(K):
122         porFora.append(ukx(xr=xr, xc=xcs[i]))
123         funcs.append(lambda t, k = i: porFora[k][int(t * nt)])
124     return funcs
```

Ex2: Função createFuncs(), ela é quem cria as funções lambda usadas na função de integral para a resolução do sistema linear.

```
172 # Lê o arquivo dr correspondente
173 def readNPY(name):
174     return np.load(name)
175
176 # Definimos aqui a função dr
177 dr = readNPY("dr" + str(K) + ".npy")
178 def funDr(t):
179     pos = int(t * nt)
180     return dr[pos]
```

Ex2: Aqui é definida a função d_r dependendo do nome do arquivo .npy a ser consultado.

```
8  # Função que calcula o dr com ruído.
9  # Precisa que o dr carregue o arquivo dr10
10 def drRuido(eta):
11     dr10 = np.load("dr10.npy")
12     ruido = np.array([])
13     v = (lambda t : (2 * np.random.rand() - 1) )
14     maximo = max(dr10)
15
16     delta = (lambda t, eta=eta: eta * maximo * v(t))
17
18     for i in range(len(dr10)):
19         ruido = np.append(ruido, (1 + delta(i / nt)) * dr10[i])
20
21     return ruido
```

Ex3: Função que cria artificialmente o ruído na função $d_{r_{10}}$

```
42 # Calcula o nível de ruído da função dr distorcida
43 def nivelRuido(eta, ti, tf):
44     um = (lambda t : 1)
45     ruido = drRuido(eta)
46     dr10 = np.load("dr10.npy")
47
48     numerador = (lambda t : abs(dr10[int(t * nt)] - ruido[int(t * nt)]))
49     denominador = (lambda t : dr10[int(t * nt)])
50
51     num = ex2.integral(numerador, um, ti, tf, T / nt)
52     den = ex2.integral(denominador, um, ti, tf, T / nt)
53
54     return 100 * num / den
55
56 # Retorna a função que contém os valores de dr ruidosos
57 def drRuidoLambda(eta):
58     ruido = drRuido(eta)
59     return (lambda t : ruido[int(t * nt)])
```

Ex3: A função nivelRuido() calcula o nível de ruído da nova função $d_r(t)$. A drRuidoLambda retorna a função que retorna os valores discretos da função $d_r(t)$

```
143 def metodoSOR (matrizA,matrizb,n):
144     numIteracoes = 10000
145     omega = 1.6
146     iteracoes = 0
147     respostas = criarMatriz(n, 1)
148
149     while(iteracoes < 10):
150         for i in range(n):
151             somatorias = 0
152             for j in range(i):
153                 somatorias = matrizA[i][j]*respostas[j][0] + somatorias
154             for j in range(i+1,n):
155                 somatorias = matrizA[i][j]*respostas[j][0] + somatorias
156             respostas[i][0] = (1/matrizA[i][i])*(matrizb[i][0]-somatorias)
157             iteracoes += 1
158
159     iteracoes = 0
160
161     while(iteracoes < numIteracoes):
162         for i in range(n):
163             somatorias = 0
164             for j in range(i):
165                 somatorias = matrizA[i][j]*respostas[j][0] + somatorias
166             for j in range(i+1,n):
167                 somatorias = matrizA[i][j]*respostas[j][0] + somatorias
168             respostas[i][0] = (1-omega)*respostas[i][0] + (omega/matrizA[i][i])*(matrizb[i][0]-somatorias)
169             iteracoes += 1
170     return respostas
```

Matrizes: O método SOR resolve um sistema de equações lineares quaisquer e tem garantia de convergência quando a matriz B da equação é determinada positiva.

```
125 # A * x = b
126 # (ch * chT) * x = b
127 #
128 # ch * y = b
129 # chT * x = y
130 def cholesky(A, b):
131     ch = matrixCholesky(A)
132     chT = transpostaMatriz(ch)
133
134     # ch * y = b
135     y = sistemaLouU(ch, b, isL=True)
136
137     # chT * x = y
138     x = sistemaLouU(chT, y, isL=False)
139
140
141     return x
```

Matrizes: O método Cholesky fatora a matriz B em um produto de matrizes LL^T e resolve em seguida um sistema L (matriz triangular inferior) e outro U (matriz triangular superior) para chegar à solução do sistema.

Referências

- [1] <https://numpy.org/>
- [2] <https://matplotlib.org/3.1.1/contents.html>
- [3] https://en.wikipedia.org/wiki/Courant–Friedrichs–Lewy_condition
- [4] <https://www.telecom.uff.br/pet/petws/downloads/apostilas/LaTeX.pdf>
- [5] https://edisciplinas.usp.br/pluginfile.php/5104579/mod_resource/content/3/EP2.pdf